

POLITECHNIKA POZNAŃSKA

WYDZIAŁ AUTOMATYKI, ROBOTYKI I ELEKTROTECHNIKI  
INSTYTUT ROBOTYKI I INTELIGENCJI MASZYNOWEJ  
ZAKŁAD STEROWANIA I ELEKTRONIKI PRZEMYSŁOWEJ



## PROJEKT

Systemy mikroprocesorowe (laboratorium)  
[WARiE\_2021-22\_AiR\_Dz\_1\_5\_D\_LUCZAK\_21/22]  
(Pełna nazwa kursu w systemie eKursy)

*Regulator temperatury*  
(TEMAT PROJEKTU)

*Karol Dębski, Paweł Michalak, Mateusz Skierski*  
(Autorzy)

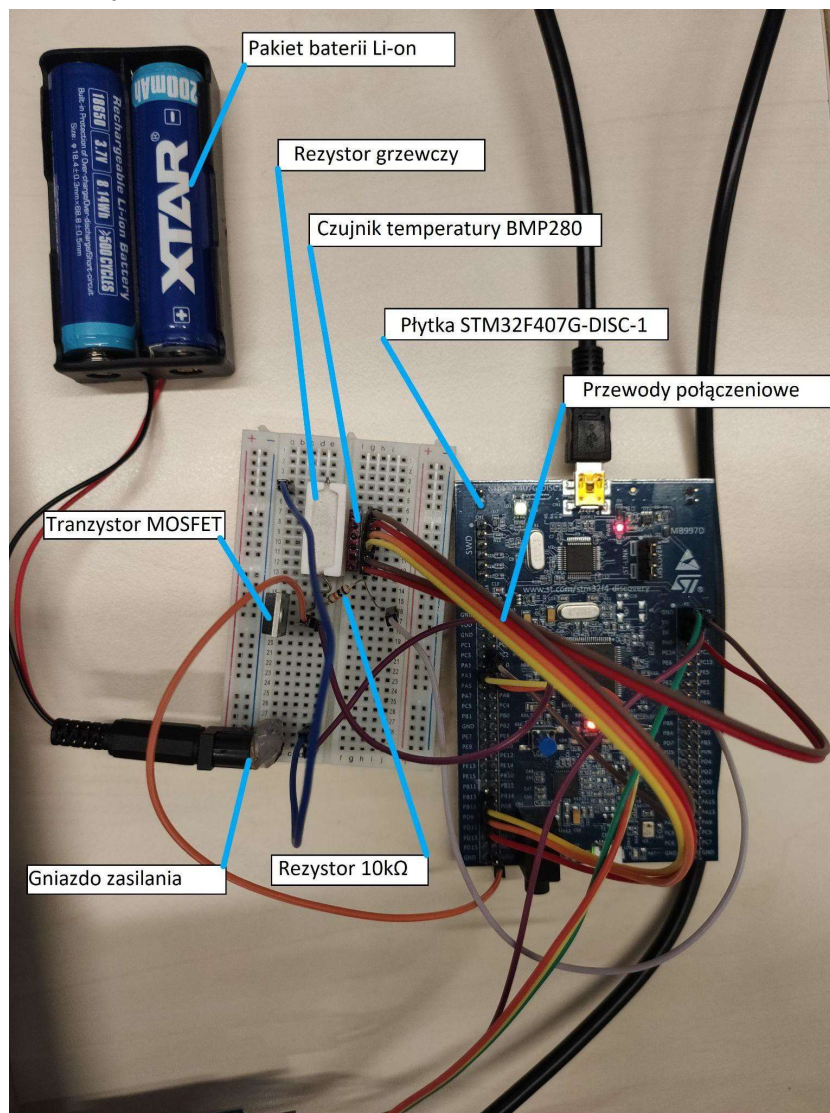
*Prowadzący:*  
*dr inż. Dominik Łuczak*  
*dominik.luczak@put.poznan.pl*

# 1. Specyfikacja

Układem regulacji jest rezystor grzejny sterowany za pomocą tranzystora MOSFET. Czujnik temperatury znajduje się pod rezystorem. Do zadawania temperatury używany jest USART. Pomiar aktualnej temperatury jest wykonywany co 1 sekundę. Co jedną sekundę wysyłana jest wartość aktualnej temperatury, wartość zadanej temperatury oraz wartość sygnału zadanego. W układzie regulacji został użyty regulator PID z anti-windupem w postaci odcinania. Układ reguluje temperaturę rezystora w zakresie od 23.5 do 45 stopni.

Użyte elementy:

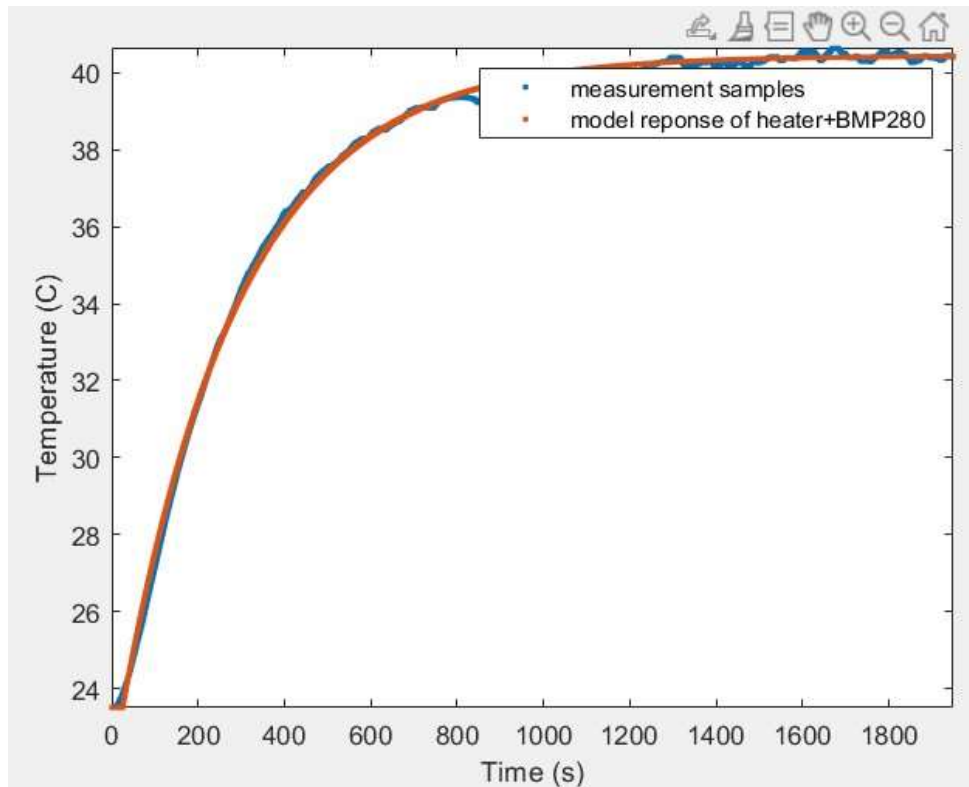
- płytki rozwojowej STM32F407G-DISC-1
- rezystor grzejny 20  $\Omega$ , 5 W
- przewody połączeniowe
- zestaw 2 ogniw litowo-jonowych połączonych szeregowo
- tranzystor MOSFET IRL540N
- rezystor 10 k $\Omega$
- czujnik temperatury i ciśnienia BMP280



## 2. Implementacja

Listing 1 Kod odpowiadający za identyfikację obiektu (Matlab)

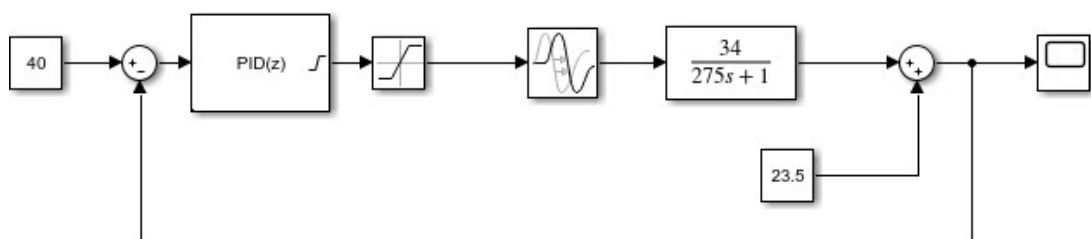
```
temperature = load('data_pid_controller_20211220-035636.txt');
dt=1; %one second
number_of_samples = length(temperature);
t = (0:number_of_samples-1)*dt;
%Input signal
input_amplitude = 0.5; % 0.9 -> 90% of PWM duty (PWM1=90);
input = input_amplitude*ones(1,number_of_samples);
%LTI model (linear time-invariant model)
s = tf('s');
k = 16.95/input_amplitude; %model gain
T = 1948-1590-83;%72 323 %model time constant
delay=25; %model delay
H = k/(1+s*T)*exp(-s*delay); % model
disp(sprintf('Model parameters k=%.2g, T=%g, delay=%g\n', k, T, delay));
%Model response
model_response = lsim(H,input,t);
model_response = model_response + 23.5; %add offset
%Model error
residuum = temperature - model_response;
error_abs_sum = sum(abs(residuum));
disp(sprintf('Model error sum(abs(residuum)) = %g\n', error_abs_sum));
figure(1);
plot(t,temperature, '.', t, model_response, '.');
title('author: D. Luczak');
xlabel('Time (s)');
ylabel('Temperature (C)');
%k=34, T=275, delay=25
legend('measurement samples', 'model reponse of heater+BMP280');
axis tight;
figure(2);
plot(t,residuum, '.');
title('Residuum (measurement samples - model reponse)');
xlabel('Time (s)');
ylabel('Temperature (C)');
axis tight;
ylim([-0.5 0.5]);
[Gsnum, Gsden]=tfdata(H);
%Conversion to discrete model
H_discrete = c2d(H, dt, 'tustin');
disp(H_discrete)
%Second order sections
[sos, g] = tf2sos(cell2mat(H_discrete.num), cell2mat(H_discrete.den));
disp('gain:');
disp(g);
disp('sos matrix:');
disp(sos);
```



Rys 2. Odpowiedź obiektu (niebieski - przebieg dla rzeczywistego układu, czerwony - przebieg dopasowany)

W pierwszym kroku zbierane są dane dla wypełnienia 50% PWM sygnału sterującego tranzystorem. Następnie dobierane są parametry modelu w środowisku Matlab, tak by przebieg wpasował się w dane (Listing 1, Rys 2).

Na podstawie odpowiedzi obiektu można stwierdzić że mamy do czynienia z obiektem inercyjnym z opóźnieniem (Rys 2).



Rys.3 Układ zaprojektowany w środowisku Matlab

Controller: PID Form: Parallel

Time domain:

☐ Continuous-time

☒ Discrete-time

Discrete-time settings

☐ PID Controller is inside a conditionally executed subsystem

Sample time (-1 for inherited): 1

Integrator and Filter methods:

Compensator formula

$$P + I \cdot T_s \frac{1}{z-1} + D \frac{N}{1 + N \cdot T_s \frac{1}{z-1}}$$

Main Initialization Output Saturation Data Types State Attributes

Controller parameters

Source: internal

Proportional (P): 0.34

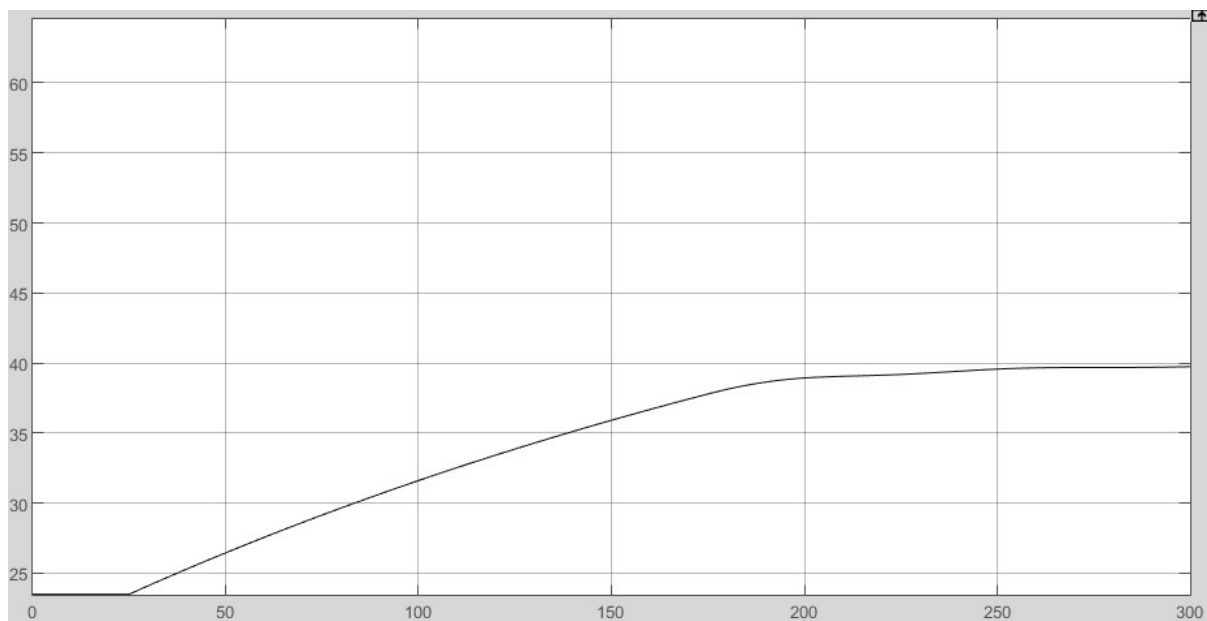
Integral (I): 0.0025

Derivative (D): 5

☒ Use filtered derivative

Filter coefficient (N): 100

Rys.4 Nastawy regulatora PID uzyskane za pomocą metody prób i błędów



Rys 5. Odpowiedź układu po przeprowadzeniu symulacji w programie Simulink

Do symulacji działania obiektu uzyskanego ze skryptu wykorzystano oprogramowanie Simulink. Zbudowany układ znajduje się na Rys 3. Nastawy PID zostały dobrane w sposób eksperymentalny i uzyskano następujące wyniki które można zobaczyć na Rys 4. Spodziewana odpowiedź układu rzeczywistego jest przedstawiona na Rys 5.

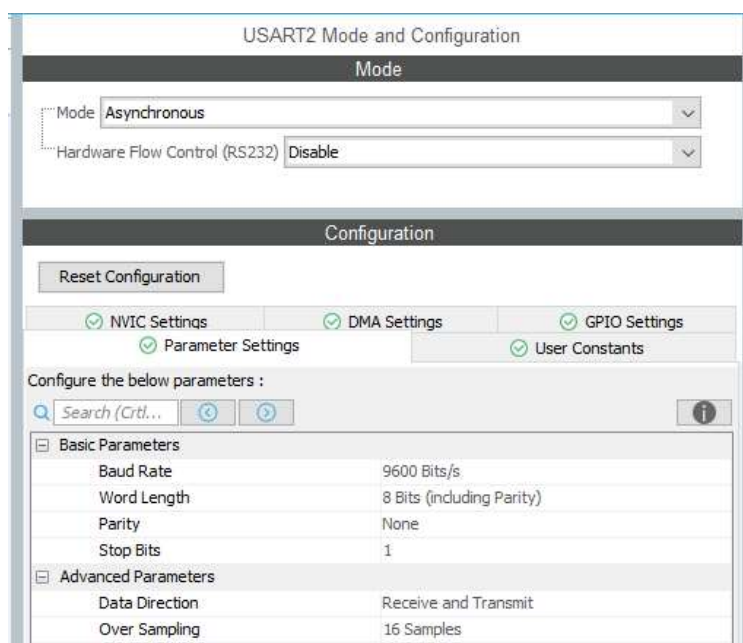
### Listing 2 Zmienne globalne oraz struktury

```
uint8_t bufferRx[BUFOR_RX_SIZE];
float feedback_mesasurement=0;
float previous_pid_output;
float u=0, P, I, D, error, integral, derivative;
float t=0;
float dt=1;
uint16_t start_measurement=0;
typedef struct{float Kp;float Ki;float Kd;float Kc;float dt;}pid_parameters_t;
typedef struct(pid_parameters_t p;float previous_error,previous_integral,previous_pid_output;)PID_t;
float set_point=23.5;
float temperature;
float pid_output=0;
float pwm_duty;
```

### Listing 3 Funkcja obliczająca sygnał wyjściowy PID

```
/* USER CODE BEGIN PFP */
float calculate_discrete_pid(PID_t* pid, float setpoint, float measured){
    error = setpoint-measured;
    P = pid->p.Kp * error;
    if(pid->previous_pid_output<1 && pid->previous_pid_output>0)
    {
        integral = pid->previous_integral + (error+pid->previous_error);
        pid->previous_integral = integral;
        I = (pid->p.Ki)*integral*(pid->p.dt/2.0);
    }
    derivative=(error-pid->previous_error)/pid->p.dt; //numerical derivative without filter
    pid->previous_error = error;
    D = pid->p.Kd*derivative;
    u = P + I + D;
    pid->previous_pid_output=u;
    return u;
}
PID_t pid1={.p.Kp=0.34,.p.Ki=0.0025,.p.Kd=5,.p.Kc=0.001,.p.dt=1};
```

Listing 3 tworzy zmienne globalne oraz struktury, natomiast w Listingu 4 jest umieszczona funkcja implementująca dyskretny regulator PID, który pobiera sygnał zadany oraz zwraca wartość sygnału na wyjściu.



Rys 6. Konfiguracja UART

TIM10 Mode and Configuration

**Mode**

☒ Activated

Channel1 PWM Generation CH1

☐ One Pulse Mode

**Configuration**

Reset Configuration

☒ Parameter Settings ☒ User Constants ☒ NVIC Settings ☒ GPIO Settings

Configure the below parameters :

Search (Ctrl...) [Left Arrow] [Right Arrow] [Info Icon]

**Counter Settings**

Prescaler (PSC - 16 bits value)	168-1
Counter Mode	Up
Counter Period (AutoReload Regis...	1000-1
Internal Clock Division (CKD)	No Division
auto-reload preload	Enable

**PWM Generation Channel 1**

Mode	PWM mode 1
Pulse (16 bits value)	0
Output compare preload	Enable
Fast Mode	Disable
CH Polarity	High

Rys. 7 Konfiguracja Timera 10 (jako PWM)

TIM11 Mode and Configuration

**Mode**

☒ Activated

Channel1 Disable

☐ One Pulse Mode

**Configuration**

Reset Configuration

☒ Parameter Settings ☒ User Constants ☒ NVIC Settings

Configure the below parameters :

Search (Ctrl...) [Left Arrow] [Right Arrow] [Info Icon]

**Counter Settings**

Prescaler (PSC - 16 bits value)	16800-1
Counter Mode	Up
Counter Period (AutoReload Regis...	10000-1
Internal Clock Division (CKD)	No Division
auto-reload preload	Enable

Rys.8 Konfiguracja Timera 11



#### Listing 4 Funkcja przerwania UART

```
void HAL_UARTEx_RxEventCallback(UART_HandleTypeDef *huart, uint16_t Size){
    if(huart->Instance == USART2){
        float tmp=0;
        sscanf((char *)bufferRx,"%f",&tmp);
        if(tmp>23.5 && tmp<45.0){
            set_point=tmp;
        }else{
            set_point=23.5;
        }
    }
    memset(bufferRx, 0, BUFFER_RX_SIZE);
    HAL_UARTEx_ReceiveTxDone_IT(&huart2, bufferRx, BUFFER_RX_SIZE);
}
```

#### Listing 5 Funkcja przerwania dla TIM11

```
void HAL_TIM_PeriodElapsedCallback(TIM_HandleTypeDef *htim){
    if(htim->Instance == TIM11){
        feedback_mesasurement=(float)temperature;
        HAL_GPIO_TogglePin(LD3_GPIO_Port, LD3_Pin);
        pid_output=calculate_discrete_pid(&pid1,set_point,feedback_mesasurement);
        previous_pid_output=pid_output;
        if(pid_output>1.0) pid_output=1.0;
        if(pid_output<0) pid_output=0;
        pwm_duty=(uint16_t)(999.0*pid_output);
        __HAL_TIM_SET_COMPARE(&htim10,TIM_CHANNEL_1,pwm_duty);
        start_measurement=1;
    }
}
```

#### Listing 6 Funkcja służąca do wysyłania danych, które następnie są odczytywane z poziomu terminalu

```
void BMP2_user_app_print_sensor_data(struct bmp2_data *comp_data)
{
    uint8_t uart_data[200];
    uint16_t uart_size;
    uart_size = sprintf((char*)uart_data, "Temperature: %0.2f || Set point: %0.2f || Pid output:%0.2f\r\n",
    comp_data->temperature,set_point,pid_output);

    HAL_UART_Transmit(&huart2, uart_data, uart_size, 0xffff);
}
```

#### Listing 7 Pętla while w funkcji głównej Main

```
BMP2_user_app_configuration(&dev);
HAL_UARTEx_ReceiveTxDone_IT(&huart2, bufferRx, BUFFER_RX_SIZE);
HAL_TIM_PWM_Start(&htim10, TIM_CHANNEL_1);
HAL_TIM_Base_Start_IT(&htim11);
__HAL_TIM_SET_COMPARE(&htim10,TIM_CHANNEL_1,0);
BMP2_user_app_stream_sensor_data_by_uart(&dev);

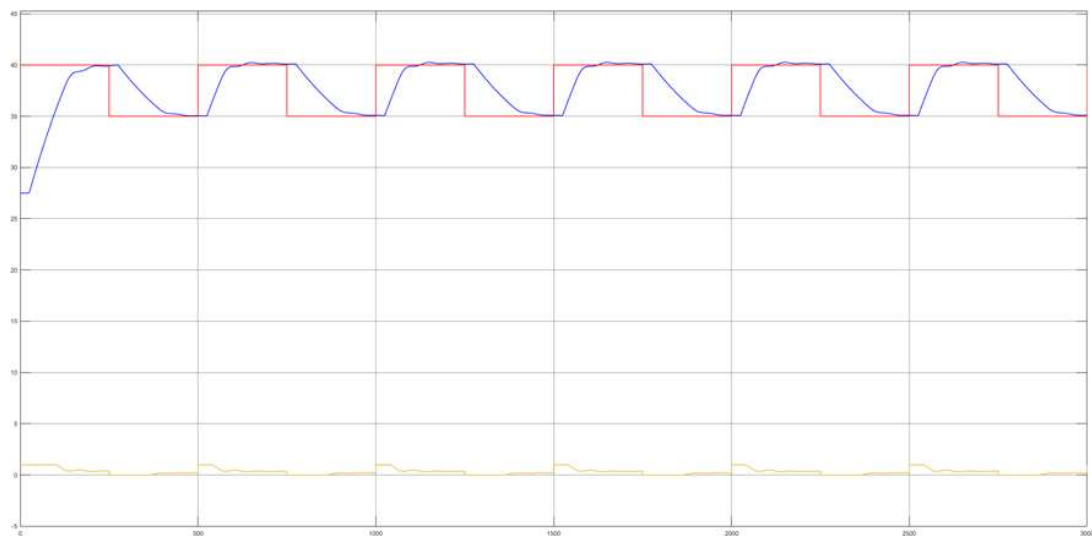
while (1)
{
    if(start_measurement){
        BMP2_user_app_stream_sensor_data_by_uart(&dev);
        start_measurement=0;
    }
    /* USER CODE END WHILE */
    MX_USB_HOST_Process();

    /* USER CODE BEGIN 3 */
}
```

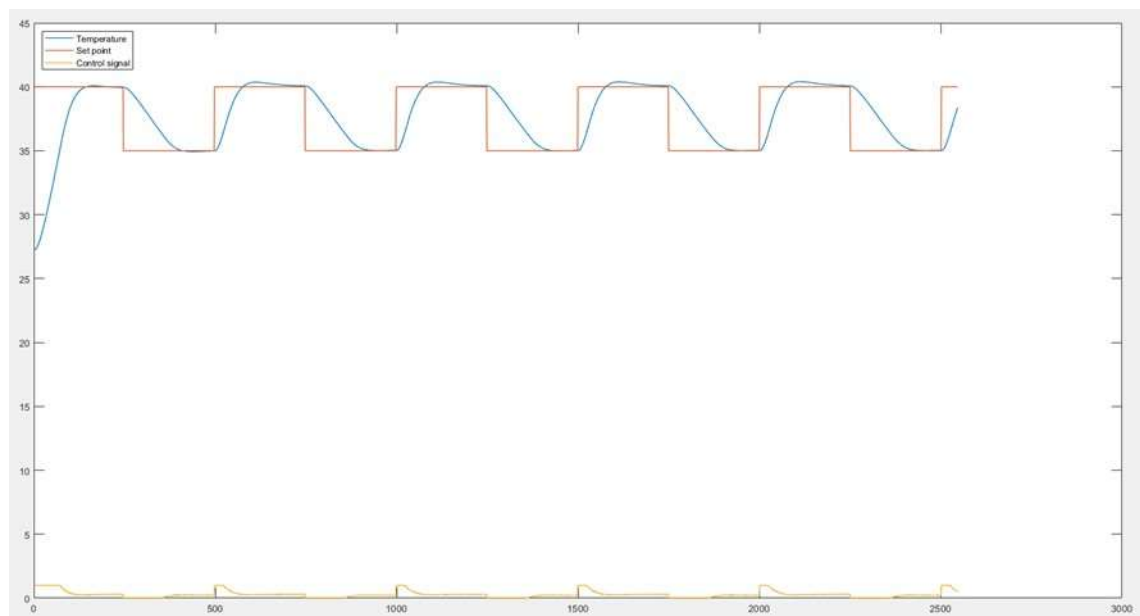


Co jedną sekundę wywoływany jest callback dla TIM11 (Listing 5). W nim obliczany jest sygnał sterujący oraz na podstawie jego ustawiany jest rejestr pośrednio odpowiedzialny za sygnał PWM. Zmieniana jest także zmienna `start_measuremet` która zezwala na dokonanie pomiaru w pętli głównej programu (Listing 7). Wraz z dokonaniem pomiaru wysyłane są wartości aktualnej temperatury, temperatury zadanej oraz wartości sygnału sterującego (Listing 6). W każdej chwili możliwe jest wysłanie za pomocą UARTA wartości zadanej temperatury (Listing 4). Jeśli wartość nie mieści się w przedziale od 23.5 do 45.0 lub wiadomość nie jest liczbą to wartość temperatury zadanej jest ustawiana na 23.5.

### 3. Wyniki testów

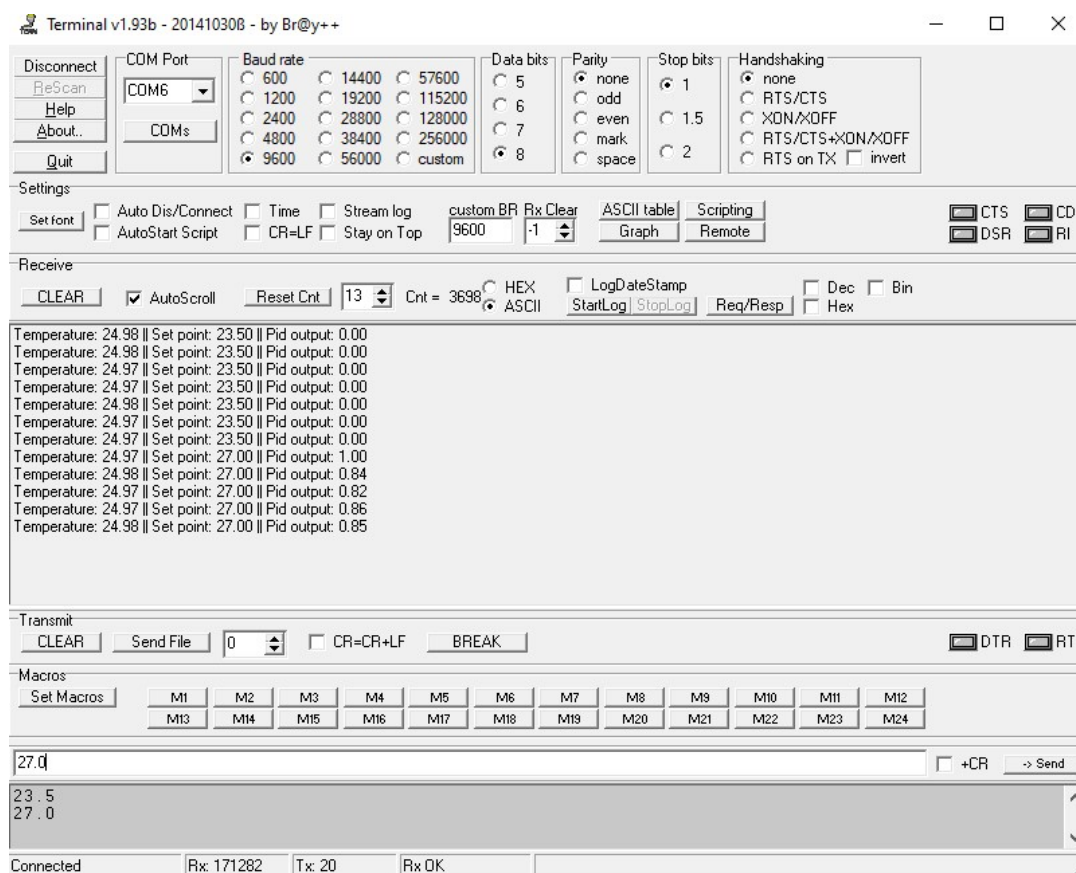


Rys. 9 Wykres wartości zadanej (czerwony), temperatury (niebieski) i sygnału sterującego (żółty) – symulacja w simulinku



Rys. 10 Wykres wartości zadanej, temperatury i sygnału sterującego – obiekt rzeczywisty

Na rysunkach powyżej przedstawiono odpowiedzi układu symulacyjnego (Rys. 6) oraz układu rzeczywistego (Rys. 7). Analizując odpowiedzi można zauważyć że pokrywają się one zapewniając uchyb na poziomie niższym niż 5% ( $<1,075^{\circ}\text{C}$ ).



Rys. 11 Terminal z komunikacją odczytu/wysyłu

Wysłanie wartości zadanej temperatury za pomocą terminalu powoduje zmianę parametru zadanej temperatury której odczyt odbywa się za pomocą terminalu.

## 4. Wnioski

Zrealizowany układ spełnia następujące wymagania:

- System dokonuje pomiaru regulowanej zmiennej ze stałym okresem próbkowania
  - implementacja przedstawiona w **Listingu 7**, **Rys. 8**, **Listing 5**
- System umożliwia sterowanie w bezpiecznym zakresie zmian regulowanej zmiennej
  - implementacja przedstawiona w **Listingu 4**
- System zapewnia uchyb ustalony na poziomie 5% zakresu regulacji (np. jeżeli przyjmimy zakres regulacji temperatury jako  $20-40^{\circ}\text{C}$ , uchyb ustalony w całym przedziale nie może przekraczać  $1^{\circ}\text{C}$ ).
  - wymagany wynik widoczny na **Rys.10**
- System umożliwia zadawanie wartości referencyjnej za pomocą komunikacji szeregowej
  - wymagany wynik widoczny na **Rys.11**, oraz **Listingu 4**
- System umożliwia podgląd aktualnej wartości sygnału: pomiarowego, referencyjnego i sterującego za pomocą komunikacji szeregowej lub urządzenia wyjścia
  - wymagany wynik widoczny na **Rys.11**, oraz **Listingu 6**